

İZMİR-ÖDEMIŞ YÖRESİNDEKİ ARSENOPIRİTLERLE İLİŞKİLİ ALTIN OLUŞUMLARININ MADEN JEOLOJİSİ

Sinan AKISKA*, Taner ÜNLÜ* ve İlhan Sönmez SAYILI*

ÖZ.- Bu çalışma İzmir-Ödemiş bölgesinin kuzeydoğusunda yer alan Elmacıgediği, Zeytinlik, Yılanlıkale ve Kemer yörelerinde yüzeyleyen damar görünümlü altın içeren arsenopirit oluşumlarının ve onların yakın civarlarında izlenen mikaşist, amfibol şist ve amfibolitlerin mineralojik, petrografik ve jeokimyasal olarak incelemelerini kapsamaktadır. Bölgede incelemeye konu olan tüm alanlar Menderes Masifi'nin Ödemiş asmasifinde yer almaktadır, bu asmasifte esas olarak şistler, gnayalar ve amfibolitlerden oluşan birimler yüzeylemektedir. Bu birimler orta derecede metamorfizma geçirmiştir. Çalışma alanında genellikle biyotit ve/veya muskovitçe zengin, yer yer granat da içeren mikaşistler, granat-biyotit amfibolitler ve amfibol şistler yüzeylemektedir. Uzunlukları birkaç yüz metreden fazla ve kalınlıkları birkaç on metre civarında olan mercek biçimli amfibolitler, içinde bulundukları şistlerin yapraklanması paralel olarak konumlanmışlardır. Sahadan seçilen 11 örnek üzerinde yapılan jeokimyasal incelemeler sonucu ana oksit- SiO_2 diyagramlarında cevher, mikaşist ve amfibollü kayaçların farklı alanlara düşüğünü görmektedir. Zeytinlik bölgesinden alınan 7 örnekte, eser elementlerden Au-Ag-Sb-Bi ve Se arasında çok yüksek pozitif korelasyon katsayılarının varlığı saptanmıştır. Cevher mikroskobisi çalışmaları sonucunda cevher minerallerinde sinjenetik ve post metamorfik olmak üzere iki ayrı evre saptanmıştır. Cevherleşmelerin, sedimentasyon sırasında önce havzaya gelen olasılıkla bazik magmatik kayaçlarla ilişkili bazı element artışları, daha sonra asidik çözeltilerle ilişkili element zenginleşmelerine bağlı olarak geliştiği söylenebilir. Bölgenin metamorfizmaya uğraması sırasında ve/veya sonrasında cevherleşmelerin bir kez daha hareketlendikleri düşünülmektedir.

Anahtar sözcükler: Menderes Masifi, Ödemiş asmasifi, arsenopirit, altın, İzmir.

GİRİŞ

Metamorfik birimler içindeki altın yatakları incelendiğinde, dünyada özellikle Prekambriyen yaşlı Kanada'nın Greenstone kuşakları içinde bazı yatakların olduğu görülmektedir (Strachan ve Moffett, 1985; Kuhns, 1988; Sawkins, 1990). Türkiye'de Menderes Masifi içinde, Çanakkale, Hatay ve Kastamonu'da doğrudan metamorfik kayaçlarla ilişkili veya metamorfik temel üzerindeki kayaçlarla birlikte bulunan yataklar olduğu gibi metamorfizma geçirmiş volkanik ve/veya ultramafik kayaçlarla bağlantılı altın yataklarını da görmek olasıdır (Önal ve diğerleri, 1986; Kayhan, 1991; Aydal, 2000).

Menderes Masifi'nin Ödemiş ve Çine asmasifleri ile masifin doğuya doğru devamındaki Uşak ve Eşme yöresinde MTA Genel Müdürlüğü tara-

findan yapılan ayrıntılı çalışmalar ile altın içeren arsenopirit ve kuvars damarları halinde 73 ayrı zuhur saptanmıştır (Dilek ve Kayhan, 1987; Kayhan, 1991). Ödemiş asmasifi içinde Ödemiş civarındaki oluşumlardan Mursallı, Zeytinlik, Höyük Tepe, Elmacıgediği, Yılanlıkale, Akçakmakgediği, Küçük Avulcuk ve Kemer zuhurlarında yapılan bazı analizlerle altın ve yer yer de volfram belirlenmiş bulunmaktadır (Dilek ve Kayhan, 1987; Kayhan, 1991; Andiç, 1992; Gonca, 1992).

Bölgelerde metamorfik kayaçlar içerisinde özellikle amfibolitlerde, şelit ve arsenopiritlere rastlanmaktadır. Arsenopiritler bazı bölgelerde şistler içerisinde görülmektedir, bazı bölgelerde ise amfibolitler içerisinde yer almaktadır. Damar görünümlü arsenopirit oluşumları bazen şistlerin yapraklanmasıyla uyumlu bazen da keser şekilde

* Ankara Üniversitesi Mühendislik Fakültesi Jeoloji Mühendisliği Bölümü, 06100 Tandoğan/ANKARA
e-mail : akiska@eng.ankara.edu.tr, tunlu@eng.ankara.edu.tr, sayili@eng.ankara.edu.tr

olmak üzere farklı konumlarda izlenmektedir. Bu oluşumların kalınlıkları birkaç cm ile 10 cm civarında değişmekte olup, uzunlukları en fazla 70 m'dir.

Masif içerisindeki bu arsenopirit ve kuvars damarları içindeki altın oluşumlarının kökenini hidrotermal damarlara bağlayan görüşler olduğu gibi Varistik ve Alp orojenezini yaşamış, tabakaya bağlı sedimanter kökenli cevherli seviyelerden hidrotermal mobilizasyonlar ile kırıklara yerleşme şeklindeki oluşum biçimlerine de bağlayan farklı görüşler bulunmaktadır (Uzkut, 1977; Çağatay ve Eyüpoglu, 1979; Dilek ve Kayhan, 1987; Kayhan, 1999; Andic, 1992; Gonca, 1992). Bu çalışma ile elde edilecek tüm jeolojik verilerin ışığı altında inceleme alanındaki oluşumların kökeni irdelenecektir.

GENEL JEOLOJİ, MINERALOJİ VE PETROGRAFI

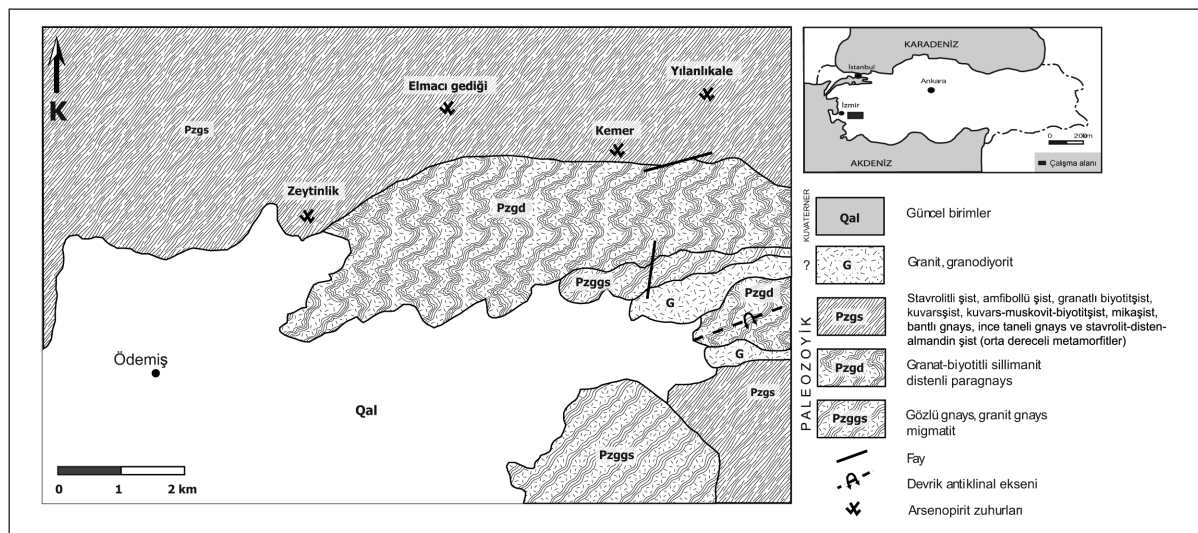
Jeolojik, mineralojik ve petrografik inceleme Izmir L20-a4 paftasında yer alan Elmacıgediği, Zeytinlik, Kemer ve Yılanlıkale bölgelerinde yapılmıştır. Kemer ve Yılanlıkale bölgelerinin birbirine çok yakın olması nedeniyle bu iki bölge birlikte ele alınacaktır (Şekil 1).

Elmacıgediği Sahası

Bu saha, Ödemiş-Bozdağ yolunun doğusunda, Gölcük'ün 12 km kuzeydoğusunda, Elmacıgediği yöreni içinde yer alır.

Çalışma alanında, granat-mikaşistler ve amfibolitler yüzeylemektedir. Mikaşistler genellikle açık kahverengi-sarımsı renklere sahiptirler. Mikaşistlerde ölçülen sistozitler genellikle D-B, nadiren KB-GD doğrultulu olup G veya GB'ya 40° ile 70° arasında eğimlidir. Arsenopirit içeren damarların doğrultusu D-B, KKB - GGD ve K-G'dir. Mikaşistler genellikle sillimanit, disten, biyotit, muskovit, kuvars, granat ve stavrolit gibi mineral birliliklerini içermektedir. Alınan örneklerin cevhere yakın kesimlerinde biyotitler genellikle hidrobiyotitleşmeye uğramışlardır. Bazı biyotitlerde ise zirkon kapanımları görülmektedir (Levh'a I - Şekil 1).

Amfibolitler mercek biçimli olup uzunlukları birkaç yüz metreden daha fazla kalınlıkları ise birkaç 10 metre civarındadır. Renkleri yeşilimsi, siyahımsı olup iri mineraller içermektedirler. Makroskopik olarak amfibolitlerde, amfibol, granat, biyotit ve plajiyoklas mineralleri görü-



Şekil 1- İnceleme alanının bölgenin jeolojik haritası (Dilek ve Kayhan, 1987'den değiştirilerek alınmıştır).

lebilmektedir. Mikroskopik incelemelerde amfibollerin yeşilimsi pleokroyizmalarına dayanarak hornblend türünde oldukları ve hipidiyoblastik-ksenoblastik doku sundukları belirlenmiştir (Levha I-Şekil 2). Plajiyoklaslar kesitlerde bol miktarda izlenmekte polisentetik ikizlenmeler ve genellikle ksenoblastik dokular sunmaktadır. Granatlar da hipidiyoblastik-idiyoblastik dokulu olup genellikle opak mineral kapanımlarınca zenginleşmişlerdir. Granatlarda ikincil kırıklanmalar sıkılıkla görülebilmektedir. Biyotitler kahverengi pleokroyizmalar gösteren porfiroblastlar halinde genellikle hipidiyoblastik şekillerde görülmektedirler. Kesitlerde ayrıca daha az oranlarda kuvars, muskovit, sfen, rutil ve opak minerallere de rastlanmaktadır.

Zeytinlik Sahası

Bu saha, Ödemiş'ten kuzeydoğuya doğru kuşusu olarak yaklaşık 4 km uzaklıkta yer alan Zeytinlik Köyü'nün kuzeydoğusunda ve Gölcük yolu üzerinde bulunmaktadır. Biyotit-kuvars-muskovit-granatşist yüzleklerinin yeraldığı sahada, masif arsenopirit oluşumları damar ve damarcık biçimli olup genellikle şistlerin yapraklanması uyumlu konumdadır. Bu damarların doğrultu ve eğimleri K62D/46 KB olarak ölçülmüştür. Mikaşistlerin içerisinde yer alan masif arsenopirit oluşumları 10-15 cm. kalınlığında ve birkaç metre uzunluğunda izlenmektedir. Bölgedeki bir diğer lokasyonda kalınlığı 2,5 m.'ye ulaşan ve mikaşistlerin içerisinde yer alan kuvars merceği bulunmaktadır. Bu merceğin içerisinde ise çok küçük taneli saçılımlar halinde arsenopirit taneleri gözlenmektedir. Bu alanın hemen doğusunda bulunan bir başka lokasyonda ise mikaşistlerin içerisinde, şistoziteyi keser konumda arsenopirit oluşumları izlenmiştir. Bunların kalınlıkları yaklaşık 10 cm olarak ölçülmüştür.

Sahada daha önce yapılan jeolojik ve petrografik çalışmalar sonucu, mikaşistlerin; yaygın olarak stavrolit granat ditsen mikaşistler ve granat mikaşistler olmak üzere iki tipte oldukları belirlenmiştir (Kayhan, 1991). Disten kristallerinin boyları

6 cm' den fazla iken stavrolit ve granat kristallerinin boyları 1-2 cm olarak belirlenmiştir (Kayhan, 1991). Granat mikaşistler daha az yaygındır ve diğer mikaşistlerle uyumludur. Mikroskopik incelemelerde ana mineral olarak biyotit, kuvars ve plajiyoklaslar belirlenmiştir. Biyotitler, genellikle hipidiyoblastik-ksenoblastik dokuludur. Kahverengimsi renklerde pleokrozmaya sahiptirler (Levha I - Şekil 3). Çokunlukla kırılmış ya da parçalanmış şekilde görülmekte ve bazı kesitlerde ise kloritleşmeler ve hidrobiyotitleşmeler izlenmektedir (Levha I - Şekil 4). Demirce zengin sıvıların etkisinin görüldüğü kesitlerde biyotitler koyu kırmızı-koyu kahverengi renklerde izlenmektedir. Bu sıvıların etkisiyle bazı biyotitlerde opaklaşmalar oluşmuştur. Cevherli örneklerde bulunan biyotitlerin görünümleri diğerlerinden oldukça farklıdır. Bazı kesitlerde ise biyotitlerin içerisinde kapanımlar görülmektedir. Kesitlerdeki muskovitler basınç etkisiyle genellikle büükümüş ve kıvrımlanmış olup levhamsı şekillerde görülmektedir. Oranları biyotitlere göre daha az ve boyutları daha küçüktür.

Mineralojik incelemelerde iki tür kuvarsın varlığı saptanmıştır. Birinci tür, mikaşistlerin içerisinde bulunan ince taneli kuvarslardır. Damar halinde bulunan ikinci tür kuvarlar ise birincilere göre daha iri tanelidir. Kuvarlar ksenoblastik dokular sergilemektedir ve dalgalı sönmeleriyle tipiktirler.

Ayrıca bazı kesitlerde turmalin, apatit ve zirkon izlenmiştir. Bunlar çok küçük taneli olup yuvarlaklaşmışlardır. Opağımı ve bazı bölgeleri kızılımsı renkte olan rutil de bazı kesitlerde izlenmektedir. Opak mineraller çokunlukla yapraklanmaya paralellikler sunmaktadır.

Cevherce zengin örnek kesitlerinde kuvarlar damarcıklar biçiminde, ksenoblastik dokuda ve diğer kuvarslara göre daha büyük taneler şeklinde izlenmektedir. Biyotitler, genellikle kıvrımlanmış ve ksenoblastik dokudadır. Bazı biyotitlerde kloritleşmeler görülmektedir. Cevherli kesitlerde mineraller, çokunlukla demir ergiyikle-

rinin etkisiyle koyu kırmızı-koyu kahverengi renkler kazanmışlardır. Bu tür kesitlerde çoğulukla kırıklanmalar da izlenmektedir.

Kemer ve Yılalıkale Sahaları

Kemer sahası, Ödemiş'ten kuzeydoğuya doğru kuşusu olarak yaklaşık 9 km uzaklıkta ve Zeytinlik Köyü'nün doğu kuzeydoğusunda yer almaktadır. Kemer-Yılalıkale yolunun üzerinde bulunan Kemer sahasında mikaşistler ve amfibolitler yüzeylemeye ve içlerinde kuvars-arseenopirit oluşumları gözlenmektedir. Arsenopirit mineralizasyonları yapraklanmaya uyumlu bir konumda görülmektedir. Yapılan ölçümlelerde mineralleşmelerin konumları K55D /30GD ve K80B / 76GB olarak ölçülmüştür.

Kemer Bölgesi'nde görülen amfibolitler, merceksi şekillerde bulunur ve mikaşistlerle karşılaşıldıklarında, geniş ölçekli budinajın neden olduğu merceksi yapıların bir sonucu olarak daha masif bir karaktere sahiptirler. Koyu yeşilimsi-siyahımsı renkler sunan amfibolitlerde ana mineral olarak amfibol, granat, epidot ve plajiyoklas içerirler.

Amfiboller, yeşilimsi renklerde pleokroyizmaları ile hornblend olarak adlandırılmışlardır. Ksenoblastik hornblendler ince taneli olup gruplar halinde izlenmektedirler.

Granatlar, genellikle hipidiyoblastik-ksenoblastik dokular sunmaktadır. İnce kesitlerde hem izotrop hem de anizotrop granatlar görülmektedir. Bazı granatlar kırıklı ve çatlaklı yapıdadır ve bir kısmı da sulu çözeltilerin etkisiyle epidotlara dönüşmüştür. Pembemsi renkli izotrop almandın olduğu düşünülen granatların içerisinde kapanım şeklinde opak mineraller izlenmektedir. Bazı kesitlerde ise yine pembemsi renklerde damarcıklar halinde ikincil kökenli granatların varlığı görülmektedir.

Epidotlar genellikle hipidiyoblastik-ksenoblastik dokularda görülmektedir. Bazı örneklerde

epidot oranları çok yüksektir (Levha I - Şekil 6). Epidotların klinozosit türleri de gözlenebilmektedir.

Plajiyoklaslar, örneklerde genellikle ince porfiroblastlar halinde ve kenarları yuvarlaklaşmış olarak izlenmektedir. Hipidiyoblastik-ksenoblastik plajiyoklaslar genellikle polisentetik ikizlenmeler sunmaktadır. Genellikle kataklastik doku gösteren kesitlerde plajiyoklaslar parçalanmış durumda olup içlerinde izotrop mineral kapanımları izlenmektedir.

Kuvarslar ince kesitlerde genellikle çok az oranlarda gözlenebilmektedir. % 5'in altında bir içerik sergileyen kuvarslar ksenoblastik dokuludur. Kesitte tali mineraller olarak titanit, rutil, sfen (Levha I - Şekil 5), zirkon ve opak mineraller de bulunmaktadır.

Yılalıkale sahası ise Bozdağ'ın 3,5 km güneydoğusunda, Kemer köyünün yaklaşık 2 km kuzeydoğusunda ve Kemer-Yılalıkale yol yarasında, yeralır. Arsenopirit oluşumları mikaşistler içerisinde fay ve çatlak sistemlerini doldurmuş farklı konumlarda, damar ve damarcıklar şeklindedir. Çalışma alanında bulunan arsenopirit damarları yankayacı ağsal biçimlerde kesmektedir. Kalınlıkları 1-2 cm ile 50 cm arasında değişen kuvars-arsenopirit damar kümeleri 120 m lik bir zon içerisinde izlenir. Oldukça karmaşık tektonik olayların varlığının söz konusu olduğu bölgede kuvars damarları sıkışmış ve kırılmıştır. Mikaşistlerde şistozite genellikle K30-60B / 30-50GB konumundadır. Bu sahada yüzeyleyen örnekler Kemer sahasındaki hemen hemen aynı mineralojik ve petrografik özellikler sunmaktadır. O nedenle burada sadece cevher örneklerinde izlenen mineraller ve özelliklerine yer verilecektir.

Bazı cevher örneklerinde kırıklar boyunca izlenmekte olan biyotitler genellikle hipidiyoblast-ksenoblastlar şeklinde ve pulsu yapıladıdır. İyi bir pleokroyizmaya sahip olan biyotitler kahverengimsi renktedir. Cevherden etkilenen biyotitler

genellikle pulsu yapılarını kaybetmiş, hafif hidrobiyotitleşmeye uğrayarak kızılımsı bir renk almış ve birbirleriyle girift durumlar sergilemektedir. İnce kesitlerde muskovitler % 1-2 oranlarında hipidiyoblastlar şeklinde izlenmektedir.

Kuvarslar, çoğunlukla damalar şeklinde yerleşmiş ikincil katakterdedir. Ksenoblastik dokuya sahip olan kuvarların tane boyları yaklaşık aynı olup birbirleriyle girift durumlu mozayik bir doku sergilemektedir. Cevherce zengin bazı kesitlerin belli bölgelerinde kuvars taneleri daha iri yapıda gözlenmektedir (Levha I - Şekil 6).

Plajiyoklaslar, genellikle hipidiyoblastik dokuluudur ve bir çoğu polisentetik ikizlenme ve zonlanma göstermez. Bazı kesitlerde porfiroblastlar şeklinde görülen plajiyoklaslar, cevherli damaların da etkisiyle çok kırıklı ve çatlaklı yapılar sunar. Cevherli kesitlerde çok az sayıda çatlak dolgusu şeklinde serizitleşmiş plajiyoklaslar bulunmaktadır. Bu plajiyoklasların içerisinde ise sfenler izlenmektedir. Bu tür cevherli örneklerin çoğunda iki yönlü makaslama kırıkları gelişmiş ve cevherler kırıklanıp, kesitin birçok yerine dağılmış durumda bulunmaktadır.

Ayrıca örneklerde, küçük gruplar halinde ve az sayıda amfiboller (hornblend), yüksek girişim rengine sahip olan ve biyotitlerin içerisinde kapanım olarak bulunan zirkonlar, hipidiyoblastidiyoblastlar şeklinde ve orta kısımlarında opaklaşmalar olan sfenler ve çok az sayıda da apatiller bulunmaktadır. Kırıklanmış, breşleşmiş cevherlerin çatlaklarında silisleşme, karbonatlaşma ve skoroditleşmeler görülmektedir.

CEVHER MİKROSKOBİSİ

Kemer sahasından bir örnek (KM-3), Yılalıkale sahasından bir örnek (YK-2) ve Zeytinlik sahasından da dört örnek (ZT-1, ZT-4, ZT-5, ZT-10) cevher mikroskopik çalışmalarla incelenmiş ve belirlenen cevher minerallerinin özellikleri aşağıda sunulmuştur. İncelemeler yağ ortamında ve 250 büyütme ile yapılmıştır. Bu bölümde MTA-

İtalyan Proje (Snia Techint-Rimin-Geoexpert Italy) çalışmasındaki bilgilerden faydalanılmış, bu çalışma ile karşılaştırılması yapılmıştır. Zeytinlik yöresine özgü örneklerde (ZT-1, ZT-4 ve ZT-5) şelit mineralleri UV lamba ile tanımlanmıştır. Ancak parlatmalarda şelit tanelerinden kesit hazırlanamadığından bu minerallerin mikroskopik olarak incelenmesi verilmemiştir.

Arsenopirit.- Ana cevher minerali olarak gözlenen arsenopiritler en fazla 3.5 - 4 mm boyutlarındadır. Coğunlukla özkekilli minerallere sahip olan arsenopiritler kataklazma göstermektedir. Kenarları ve çatlakları boyunca, tektonizmanın etkisiyle önemli bir kısmı skorodite dönüşmüştür. Bazı bölgelerde ise arsenopiritler skoroditler içerisinde artık olarak görülmektedir. Arsenopiritler, bazen masif bir yapı sergilerken, bazen de saçılım şeklinde bulunmaktadır. Saçılım şeklinde görülen arsenopiritlerin boyu en fazla 3 cm' dir. Skoroditleşme, arsenopiritlerin hem çatlakları boyunca hem de dilinimleri boyunca (Levha II - Şekil 1) izlenmektedir. Bazen de kristalin kenarı boyunca bir şerit halinde diğer silikatlarla arasında çeper oluşturacak şekilde bulunmaktadır. Arsenopiritlerin içinde ufak manyetit ve pirit taneleri görülmektedir. Arsenopiritlerin manyetit ve piritleri sarmalarından dolayı bu tanelerden daha genç oldukları düşünülmektedir.

Skorodit.- Arsenopiritin yüzeysel ayrışma ürünü olan skorodit, ikincil mineral olarak görülmektedir. Yeşil renkli olan skoroditler coğunlukla arsenopiritlerin çatlaklarında izlenmektedir. Yılalıkale Bölgesi'ne ait örnekte görülen skoroditler, arsenopiritleri ornatarak iskeletimsi hale getirmiştir. Bu şekilde oluşan skoroditlerde kolloform dokularda izlenmektedir.

Altın.- Değişik boyutlarda izlenen altının tane boyu en fazla 110 μm x 250 μm 'dur. Bazı kesimlerde tek taneler halinde görülen altın, bazı kesimlerde ise daha küçük taneli olark gruplar halinde görülmektedir. Örneklerde altınlar, nabit altınlar olarak izlenirler. Önceleri arsenopiritin içerisinde bulunan altın, arsenopiritlerin skorodite

dönüşmesiyle, skoroditin içerisinde gözlenmektedir (Levha II - Şekil 2). Altın taneleri, bazı yerlerde arsenopiritlerin çatlağını doldurmuş halde bulunmaktadır. Bu da bazı altın tanelerinin arsenopiritlerden daha genç olabileceğini göstermektedir.

Pirit.- Çoğunlukla arsenopiritin içerisinde görülen piritler bazen özçekilli-yarı özçekilli bazen de iskeletimsi yapılarda görülmektedir (Levha II - Şekil 3). Arsenopiritlerin aksine piritlerde kataklazma izlenmektedir. Piritlerin çevresini arsenopiritlerin sarması piritlerin, arsenopiritlerden daha yaşlı olduğunu göstermektedir. Bu tür piritlerin boyutu 0.3 mm - 0.4 mm arasındadır. Bazı bölgelerde pirit ile markazit arasında büyümeye izleri görülmektedir. Bazı piritler hekzagonal pirotinin pseudomorfları şeklinde izlenmektedir (Levha II - Şekil 4). Arsenopiritler içerisinde pirotin taneleininin bulunması bu piritlerin pirotinden dönüşebileceğini düşündürmektedir. Bu tür piritlerin boyaları ise 1 mm'ye kadar ulaşabilmektedir. Piritle birlikte bulunan pirotin, markazit ve manyetit mineralleri hem arsenopiritlerin içerisinde hem de yankayacı oluşturan minerallerin içerisinde görülmektedir. Bazen de piritlerin etrafını kalkopiritler sarmış durumdadır.

Kalkopirit.- En büyüklerinin boyutu 0.2 mm olan kalkopiritler hem arsenopiritlerle kenetlenmiş halde hem de arsenopiritlerin çatlaklarını doldurmuş halde görülmektedir. Bazı kesimlerde ise piritlerin etrafını sarmış şekilde izlenmektedir (Levha II - Şekil 5). Örneklerdeki en genç sulfitli mineralin kalkopirit olduğu düşünülmektedir. Arsenopiritlerle kenetlenmiş halde görülen kalkopiritlerin boyutları yaklaşık 150 μm 'dir. Özellikle Kemer Bölgesi örneğinde görülen bu tür kalkopiritler çatlaclar boyunca kovellin ve limonite dönüşme göstermektedir (Levha II - Şekil 6).

Diger Opak Mineraller.- Rutiller çok ufak iğneçikler şeklinde, sistoziteye paralel biçimde dizilmiş olup 200 μm boyutundadır. Sfenler ise çok az miktaradır. Her iki mineral de biyotitlerin içinde-

dir. Ayrıca gang mineralleri içerisinde rutile dönüsmüş ilmenit mineralleri de bulunmaktadır. Zeytinlik yöreni örneklerinde amfibollerin içinde yuvarlak-elipsoidal pirotin taneleri izlenmektedir.

MTA-İTALYAN PROJESİ CEVHER MİKROSKOBİSİ ÇALIŞMALARININ KISA ÖZETİ

Elmacıgediği Yöreni

Sinmetamorfizma ile eşyaşlı) mineralizasyonda önce pirotin, arsenopirit, şelit, onu izleyen evrede de kalkopirit, markazit paragnezi özgünleşir. Markazit, pirotinin bir alterasyon ürünü olabilir. Pirotin, pirit, arsenopirit ve şelitlerin tane boyu ender olarak 1 mm'yi geçmemektedir. Kalkopirit ve markazitlerin boyalar ise 0.1 mm'den daha küçütür. Serbest altına rastlanmamıştır.

Zeytinlik Yöreni

Arsenopiritler, boyutları 2 cm'ye kadar ulaşan özkekilli ve uzamış kristaller halinde gözlenir. Taneler genellikle silikatlar içinde poikiloblastik ve porfiroblastik büyümeler gösterir. Arsenopiritler içinde içsel büyümeye veya kırık dolgusu şeklinde markazit, antimonit ve kalkopiritler bulunmaktadır.

Altın, hem iri arsenopiritler içerisinde kapanım, hem de arsenopiritin bizmutinit, kalkopirit ve kuvarsla olan birlikteliğinde arsenopiritlerde bulunan ince çatlaclar içinde 10 μm 'u geçmeyen büyülüklüklerde, ufak taneler halinde, nabit altın olarak izlenir.

Kalkopirit, küçük çatlaclar içinde markazit ile birlikte ayrıca bizmutinit ve altın ile beraber görülmektedir. Tane boyu en fazla 0.03 mm'dir.

Markazit, esas itibariyle arsenopiritlerin merkezi bölümlerinde yer almaktır olup tane boyaları 0.5 mm'ye kadar çıkmaktadır. Parlak kesitlerde markazitin çatlaclar dolgusu mu yoksa arsenopirit içinde kapanım mı olduğu pek belirgin değildir. İlkSEL pirotin olasılıkla markazite dönüşmüştür.

Bazen kalkopiritler ile birlikte büyümeye de gösterirler.

Selit, tane boyu 1 cm'ye ulaşan özçekilli ve yarı özçekilli porfiroblastlar şeklinde gözlenmekte olup şistoziteye paralel büyümeye gösterirler.

Yılanlıkale Yöresi

İkincil süreçlerle kırılmış ve parçalanmış olan kırılmış arsenopirit kristallerinde poikiloblastik ve özkekilli bir büyümeye izlenmektedir. Pirit, pirotin ve kalkopirit, arsenopiritin çatlaklarında gözlenmiştir. Serbest altın ve bizmutinit bulunamamıştır. Bu mineraller arsenopiritler içinde 10 µm'dan küçük kapanımlar şeklindedir.

CEVHER MİKROSKOBİSİNÉ ÖZGÜ DENEŞTİRME VE YORUM

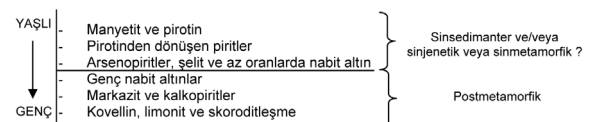
Çalışma kapsamında belirlenen cevher minerallerinden arsenopiritlerin; özkekillilikleri, silikat mineralleri arasında yeraldikleri ve kırık ve çatlaklarında markazit ve kalkopiritlerin bulunması MTA-İtalyan Projesi ile bu çalışmanın ortak noktalarıdır. Bu çalışmada ise ortaya konulan yeni bulgu arsenopiritlerin hem taneli hem de saçılımlı görünümleri, manyetit ve piritlerden daha genç olmaları ayrıca kataklazma geçirmeleri ve de skoroditleşmeleridir. Altın oluşumları için de hem arsenopiritlerin içinde hem onların çatlaklarında yeralması ortak noktalar iken, bu çalışma kapsamında tek tek ve bazen de gruplar halinde nabit altın oluşumlarının yer yer 250 µm'a kadar varan boyutlarının olması ile skoroditler içinde serbest altın tanelerine rastlanması özgün bulgulardır.

Çalışmada piritler saptanmışken, MTA-İtalyan Projesi'nde markazitlerin varlığından söz edilmiştir. Burada piritlerin özellikleri ayrıntılı biçimde vurgulanmıştır.

Ayrıca MTA-İtalyan Projesi'nde bizmutinit, selit ve antimonitlerin belirlenmiş olduğu görülmektedir.

Elde edilen tüm cevher birliktelikleri birarada yorumlandığında;

1) Cevher minerallerinin oluşum sırası yaşlıdan gence doğru şöyle verilebilir :



2) Zeytinlik ve Elmacıgediği yöresinde arsenopiritlerin özkekilli olması ve yapraklanmaya uyumlulukları bu çalışmaların diğer özgün bir sonucudur. Yılanlıkale'de ise gerek cevherleşmelerin damar şeklinde olmaları, gerekse de diğer bölgelerde izlenen tipik mineral birlikteliklerine rastlanılamamış olması, olası bir geç evre mobilizasyonuna işaret eder gibi görünümektedir.

JEOKİMYA

ESAS VE ESER ELEMENT ANALİZLERİ VE DEĞERLENDİRİLMELERİ

Yapılan petrografik çalışmalar sonucu, her bölgeden, o bölgelerin farklı zonlarını temsil edecek biçimde seçilen 11 tane örnekte kimyasal analizler gerçekleştirilmiştir. Bu örneklerden 7 tanesi Zeytinlik'e, 2 tanesi Elmacıgediği'ne, 1 tanesi Kemer'e ve 1 tanesi de Yılanlıkale yörelerine aittir. Ayrıca MTA-İtalyan Projesi kapsamında, incelenen bölgelere özgü jeokimyasal analizi yapılan örneklerin analiz sonuçlarından da bu çalışma kapsamında yararlanılmıştır. Tüm örnekler özgür tanımlar ve jeokimyasal veriler çizele 1, 2, 3, 4, 5 ve 6'de toplu biçimde sunulmuştur.

Elmacıgediği Sahası

Amfibol şist örneklerinde tüm ana element oksit içerikleri birbirleriyle uyum içerisindeidir. Fakat amfibol şist - amfibolit olarak adlandırılan örnekte (EG-2a), SiO_2 içeriği biraz düşük, Fe_2O_3 içeriği ise biraz yüksektir. 7579 numaralı cevher içeren örnekten yapılan analiz sonuçlarında

Çizelge 1- Çalışma kapsamında derlenen ve jeokimyasal analizi yapılan örnekler

Örnek No.	Lokalite	Tanım
EG-2a	Elmacıgediği	Granat amfibolşist-amfibolit dokanağı
EG-6	Elmacıgediği	Amfibolşist
KM-1	Kemer	Cevherli örnek (arsenopirit)
YK-2	Yılanlıkale	Arsenopirit cevheri (konsantresi)
ZT-1	Zeytinlik	Cevherli örnek (arsenopirit)
ZT-2	Zeytinlik	Biyotit-muskovit-granat-stavrolitşist
ZT-3	Zeytinlik	Biyotit-muskovitşist
ZT-4	Zeytinlik	Cevherli örnek (arsenopirit)
ZT-5	Zeytinlik	Cevherli örnek (arsenopirit)
ZT-6	Zeytinlik	Muskovit-biyotitşist
ZT-10	Zeytinlik	Cevherli örnek (arsenopirit)

Çizelge 2- MTA-İtalyan Projesi kapsamında jeokimyasal analizi yapılan örnekler

Örnek No	Lokalite	Tanım
7579	Elmacıgediği	Cevherli örnek (arsenopirit)
8368	Elmacıgediği	Amfibolşist
8369	Elmacıgediği	Amfibolşist
TR-M-10	Yılanlıkale	Arsenopirit cevheri (derlenmiş örnek)
8381	Yılanlıkale	Cevherli örnek (arsenopirit)
8414	Yılanlıkale	Arsenopirit cevheri (konsantresi)
8415	Yılanlıkale	Cevherli örnek (arsenopirit + kuvars damarı)
7541	Zeytinlik	Kuvars damarı (Pirit-arsenopirit-volframit)
7544	Zeytinlik	Şist
7545	Zeytinlik	Şist
7548	Zeytinlik	Şist
8375	Zeytinlik	Mikaşist
8378	Zeytinlik	Prasinit (metavolkanit)
8426	Zeytinlik	Granat amfibolit
8429	Zeytinlik	Granat – mikaşist
8432	Zeytinlik	Biyotit gnays
8433	Zeytinlik	Mikaşist
8441	Zeytinlik	Granat amfibolit
TR-M-9	Zeytinlik	Arsenopirit cevheri (derlenmiş örnek)
TR-Au-Z1	Zeytinlik	Arsenopirit cevheri (derlenmiş örnek)

örneğin kimyasının anakayaçlarla uyum içinde olması olasılıkla bu örneğin az miktarda cevher içermesi biçiminde açıklanabilir. Toplam Fe₂O₃ içeriğinin diğer örneklerden yüksek çıkması da bu örneğin cevher içeriğinin yüksek olduğunu göstermektedir. Ayrıca esas element oksitlerinin

amfibolit veya amfibol şistlere benzemesi, cevherli bölümlerin bu tür kayaçlar içinde yeraldığını düşündürmektedir.

Çizelge 4'te verilen eser element içeriklerinden özellikle MTA-İtalyan Projesi kapsamın-

Çizelge 3- Çalışma kapsamında alınan örneklerin jeokimyasal analiz sonuçları (analizler Kanada ACME'de ICP-MS yöntemiyle yapılmıştır)

Örnek No →	ZT-1	ZT-2	ZT-3	ZT-4	ZT-5	ZT-6	ZT-10	EG-2a	EG-6	KM-1	YK-2
SiO ₂ (%)	45.74	61.64	62.68	42.02	61.64	62.54	46.75	55.85	64.54	43.76	4.17
Al ₂ O ₃ (%)	11.88	17.38	17.90	9.32	10.10	17.49	2.83	16.56	13.83	14.57	0.80
Fe ₂ O ₃ * (%)	16.94	6.95	4.91	21.45	10.63	4.49	22.29	8.49	6.15	13.29	37.97
MgO(%)	1.17	2.96	2.02	1.42	0.43	1.84	0.12	3.84	2.70	0.75	0.02
CaO(%)	3.82	1.59	1.03	2.54	3.08	1.15	0.41	8.72	7.30	21.02	0.17
Na ₂ O(%)	1.54	1.68	2.25	1.17	1.14	2.48	0.73	2.60	1.54	0.12	0.05
K ₂ O(%)	0.86	3.67	4.04	0.64	0.87	3.66	0.19	0.26	0.21	0.03	0.25
TiO ₂ (%)	0.27	0.95	0.44	0.23	0.39	0.44	0.22	0.96	0.92	0.57	0.07
P ₂ O ₅ (%)	0.55	0.19	0.02	0.62	0.18	0.05	0.11	0.68	0.25	0.08	0.04
MnO(%)	0.01	0.06	0.02	0.01	0.01	0.02	< .01	0.16	0.14	0.42	< .01
Cr ₂ O ₃ (%)	0.049	0.039	0.056	0.026	0.047	0.048	0.031	0.044	0.090	0.030	0.019
A.K.	10.9	2.4	3.7	18.5	9.7	3.8	17.1	1.6	1.3	4.7	51.4
Top/C	0.13	0.12	0.29	0.34	0.22	0.33	0.01	0.03	0.07	0.03	0.02
Top/S	4.37	0.03	0.03	4.92	1.17	0.04	2.72	0.10	0.02	0.13	14.34
TOP	93.89	99.72	99.41	98.02	98.34	98.29	90.93	99.98	99.36	99.44	94.98
Örnek No →	ZT-1	ZT-2	ZT-3	ZT-4	ZT-5	ZT-6	ZT-10	EG-2a	EG-6	KM-1	YK-2
Co(ppm)	10.2	9.9	12.7	11.4	2.2	9.9	27.1	21.7	19.9	11.1	30.0
Cs(ppm)	3.1	6.2	5.6	2.7	2.0	4.9	0.6	0.9	2.6	<0.1	0.7
Ga(ppm)	19.4	24.2	24.5	16.2	24.7	22.5	4.5	16.7	17.9	20.2	3.0
Hf(ppm)	2.8	5.4	4.2	2.2	3.7	4.0	1.4	4.8	5.2	2.6	<0.5
Nb(ppm)	5.7	13.8	8.4	4.2	7.6	7.8	3.2	11.9	12.0	13.4	1.1
Rb(ppm)	42.5	114.8	127.0	32.7	39.6	95.2	7.9	5.0	5.4	0.6	9.3
Sn(ppm)	<1	4	3	<1	3	3	2	4	8	25	<1
Sr(ppm)	446.8	264.1	209.6	235.6	501.0	204.3	195.0	356.6	283.6	205.5	30.4
Ta(ppm)	0.3	1.0	0.6	0.3	0.5	0.6	0.3	0.9	0.8	0.9	<0.1
Th(ppm)	5.5	10.3	9.6	5.8	11.1	10.4	1.9	9.1	7.4	17.4	1.0
U(ppm)	3.8	3.3	7.4	3.4	5.3	4.5	0.4	3.6	2.2	4.6	0.1
V(ppm)	102	124	141	77	68	131	24	94	71	140	27
W(ppm)	11.8	3.2	5.9	71.3	4005.4	15.2	14.4	2.7	4.8	3.5	18.6
Zr(ppm)	98.0	193.4	144.3	81.0	139.4	130.8	42.6	176.2	168.7	88.1	11.9
Y(ppm)	40.3	34.4	25.1	24.0	30.6	29.2	6.9	38.2	34.6	49.7	1.1
Mo(ppm)	5.8	0.8	8.5	4.4	12.1	10.3	4.5	1.3	1.3	0.7	2.7
Cu(ppm)	70.9	40.3	115.4	56.3	158.0	45.2	1.6	47.3	4.7	74.5	3.2
Pb(ppm)	11.5	3.8	8.9	6.7	18.3	7.6	2.0	4.0	5.2	8.7	2.6
Zn(ppm)	18	56	112	24	15	83	4	49	38	18	4
Ni(ppm)	979.1	975.7	1430.9	464.7	765.6,	1062.9	926.8	1430.0	2337.2	829.2	362.9
As(ppm)	>9999	77.4	709.4	>9999	6938.4	2233.2	>9999	467.5	570.4	1102.9	>9999
Cd(ppm)	0.1	< .1	0.5	0.1	0.1	0.2	< .1	0.4	0.3	0.2	< .1
Sb(ppm)	58.2	0.3	0.6	79.7	2.6	1.3	147.7	0.6	0.5	1.1	103.3
Bi(ppm)	18.7	0.3	0.9	23.9	19.5	0.9	231.4	0.6	4.7	1.9	13.0
Ag(ppm)	0.6	0.2	0.5	0.9	0.7	0.3	1.7	0.5	0.3	1.1	0.2
Au(ppm)	6.17	3	0.01	8.48	2.92	0.12	86.33	0.15	0.18	0.31	4.13
Hg(ppm)	0.01	0.01	0.02	0.18	0.64	0.23	0.09	0.01	0.01	< .01	0.21
Tl(ppm)	0.3	0.5	0.5	0.2	0.2	0.4	0.1	< .1	< .1	< .1	< .1
Se(ppm)	10.6	0.5	1.6	15.2	7.6	2.7	18.2	0.5	< .5	0.7	29.1

* Toplam demir Fe₂O₃ olarak verilmiştir.

Çizelge 4- MTA-İtalyan Projesi kapsamındaki örneklerin ana oksit analiz sonuçları (İçerikler değiştirilmeden alınmıştır)

Örnek No →	7579	8368	8369	7541	7544	7545	7548	8375	8378	8426	8429	8432
SiO ₂ (%)	59.06	63.50	59.60	56.62	61.90	59.60	66.00	60.70	51.50	47.80	63.50	68.30
TiO ₂ (%)	0.82	0.93	0.94	0.35	0.49	0.98	0.83	0.51	0.31	3.00	1.14	0.87
Al ₂ O ₃ (%)	11.74	15.10	18.90	16.08	18.29	18.50	14.90	18.70	4.50	15.60	15.90	15.00
Fe ₂ O ₃ *(%)	10.58	5.82	7.70	7.80	5.39	6.34	5.63	4.65	21.00	15.20	7.31	3.51
MnO(%)	0.08	0.21	0.10	0.11	0.12	0.10	0.08	0.05	-	0.19	0.10	0.02
MgO(%)	2.25	2.41	4.07	2.63	2.48	2.68	2.01	2.13	0.36	5.40	2.67	1.88
CaO(%)	5.12	6.66	1.15	9.28	2.43	1.81	2.25	1.34	0.54	7.14	2.21	2.30
Na ₂ O(%)	ypm	2.79	2.43	ypm	4.52	1.04	2.43	2.62	1.27	2.41	3.61	3.71
K ₂ O(%)	<0.02	0.10	3.42	0.13	2.32	4.03	1.88	3.80	1.68	1.31	2.32	2.44
P ₂ O ₅ (%)	0.29	0.40	0.23	0.69	0.26	0.19	0.21	0.09	0.17	0.51	0.31	0.12
A.K.	ypm	0.90	2.10	ypm	2.50	2.50	1.60	4.70	19.80	1.80	1.10	2.00
TOP	98.14	98.80	100.80	98.08	100.88	97.95	97.85	99.80	98.60	100.60	100.10	100.60

Örnek No →	8433	8441	TR-Au-Z1	TR-M-9	8381	8414	8415	TR-M-10
SiO ₂ (%)	69.30	42.20	45.07	39.55	37.81	2.26	95.16	11.01
TiO ₂ (%)	0.85	5.04	0.26	0.24	0.18	0.09	0.03	0.15
Al ₂ O ₃ (%)	14.80	13.80	10.27	9.76	4.81	1.85	<1	<1
Fe ₂ O ₃ *(%)	4.99	17.20	18.04	20.21	30.39	44.99	4.42	34.51
MnO(%)	0.05	0.14	<0.02	<0.02	<0.02	<0.02	<0.02	<0.02
MgO(%)	1.78	9.22	1.69	0.85	<0.50	0.89	<0.50	<0.50
CaO(%)	0.96	9.79	3.04	2.65	<1	3.49	<1	<1
Na ₂ O(%)	2.80	0.98	ypm	ypm	ypm	ypm	ypm	Ypm
K ₂ O(%)	2.65	0.27	0.93	0.91	0.86	0.18	<0.02	0.2
P ₂ O ₅ (%)	0.16	0.42	0.39	0.58	0.07	0.11	0.03	<0.1
A.K.	2.00	1.10	ypm	ypm	ypm	ypm	ypm	Ypm
TOP	100.50	100.10	101.21	102.08	85.71	60.58	110.22	92.04

* Toplam demir Fe₂O₃ ifade eder. - Aletin duyarlılık sınırlarının altında ypm : analizi yapılmayan değerler

da yapılan analizlerde aletin duyarlılık sınırlarının düşük olması ve birçok örneğin bu sınırlar altında oranlar içermeleri nedeniyle yorumlama yapmak zorlaşmaktadır. Ancak 7579 no'lú örnek ile EG-2a ve EG-6 örnekler karşılaştırıldığında; W, Mo, Cu, As, Sb ve Au ile ayrıca Ni içerikleri dışında büyük bir paralellik ve uyum görülmektedir. Bu da cevher içeren örneğin amfibolit/amfibol şist anakayacı ile ne kadar benzer olduğunu göstermektedir. Yukarıda anılan elementler ise cevherleşmeye işaret etmektedir.

Cevherli örnekte (7579) W içeriğinin yüksek olması kayaçta olası şelit varlığına işaret eder. Yine cevherliörnekte Cu ve As içerikleri de çok yüksektir.

Zeytinlik Sahası

Sahadan derlenen cevherli örneklerin (ZT-1, ZT-4 ve ZT-10) SiO₂ içerikleri diğerlerine göre % 45'ler civarında olup mikaşistlere göre daha düşüktür. ZT-5 örneği ise mikroskopik tanımlamadan da anlaşılması gereken % 61-62 civarındaki

Çizelge 5- MTA-İtalyan Projesi kapsamındaki örneklerin eser element analiz sonuçları (icerikler değiştirilmeden alınmıştır)

Örnek No →	7579	8368	8369	7541	7544	7545	7548	8375	8378	8426	8429	8432
V(ppm)	66.9	ypm	ypm	110.2	ypm	ypm	ypm	ypm	ypm	ypm	ypm	Ypm
Co(ppm)	14	12	14	25.1	31	-	14	-	-	11	17	47
Ni(ppm)	45.5	37	60	200.9	90	10	43	13	-	24	43	71
Sn(ppm)	<16	-	-	<16	-	-	-	-	-	-	-	-
W(ppm)	851.5	ypm	ypm	16	ypm	ypm	ypm	ypm	ypm	ypm	ypm	ypm
Mo(ppm)	7.7	ypm	ypm	<4	ypm	ypm	ypm	ypm	ypm	ypm	ypm	ypm
Cu(ppm)	510.3	30	32	84	-	-	-	15	75	97	18	39
Pb(ppm)	<20	-	-	56.4	-	-	-	18	-	-	-	-
Zn(ppm)	43	31	164	575.9	234	116	138	76	-	102	109	63
As(ppm)	32826	-	-	225	-	-	-	105	5910	-	-	68
Sb(ppm)	20	ypm	ypm	<20	ypm	ypm	ypm	ypm	ypm	ypm	ypm	ypm
Bi(ppm)	<20	ypm	ypm	<20	ypm	ypm	ypm	ypm	ypm	ypm	ypm	ypm
Hg(ppm)	<0.1	ypm	ypm	<0.1	ypm	ypm	ypm	ypm	ypm	ypm	ypm	ypm
Au(ppm)	0.34	ypm	ypm	0.01	ypm	ypm	ypm	ypm	ypm	ypm	ypm	ypm
Ag(ppm)	<1.0	ypm	ypm	<1	ypm	ypm	ypm	ypm	ypm	ypm	ypm	ypm
Ba(ppm)	78.8	85	556	103.9	483	1090	312	809	300	265	608	869
Rb(ppm)	ypm	-	131	-	100	136	84	136	98	51	86	68
Sr(ppm)	443.5	302	250	727.4	334	181	205	280	232	300	243	177
Li(ppm)	21.2	ypm	ypm	55.1	ypm	ypm	ypm	ypm	ypm	ypm	ypm	ypm
Nb(ppm)	11.8	10	-	9.2	-	10	-	10	-	18	10	-
Zr(ppm)	192.4	228	199	123	185	239	235	200	124	230	371	263
Y(ppm)	36.1	33	33	32.6	28	47	44	39	-	30	33	24
Th(ppm)	ypm	-	-	ypm	-	-	-	-	27	-	-	-
U(ppm)	ypm	-	-	ypm	-	-	-	-	-	-	-	-
Cr(ppm)	69.1	46	67	54.8	73	100	88	80	-	34	94	72
Cd(ppm)	<2.0	ypm	ypm	4.7	ypm	ypm	ypm	ypm	ypm	ypm	ypm	ypm

Örnek No →	8433	8441	TR-Au-Z1	TR-M-9	8381	8414	8415	TR-M-10
V(ppm)	ypm	ypm	90.7	103.3	17.9	56.6	4.5	36.3
Co(ppm)	-	54	13.8	27.4	12.9	27.4	2.2	30.6
Ni(ppm)	18	94	56.2	42	6.1	25.3	<6	15.8
Sn(ppm)	-	-	<16	<16	17.8	16.4	20.8	<16
W(ppm)	ypm	ypm	1669.4	1050.2	454	<16	<16	<16
Mo(ppm)	ypm	ypm	20.9	21.1	<4	<4	<4	23.4
Cu(ppm)	60	57	75.1	72.8	3.4	5.1	4.1	3.9
Pb(ppm)	-	-	20	28.1	<20	<20	<20	<20
Zn(ppm)	75	231	59.3	60.9	28.5	63.2	10.4	60.9
As(ppm)	-	-	113000	150000	50000	50000	17000	287000
Sb(ppm)	ypm	ypm	89.3	115	90.3	113.5	32.1	137.5
Bi(ppm)	ypm	ypm	21.1	47	<20	<20	<20	38
Hg(ppm)	ypm	ypm	5	<0.1	5.1	4.8	0.3	<0.1
Au(ppm)	ypm	ypm	4.5	17	1.9	2.2	0.3	6.7
Ag(ppm)	ypm	ypm	<1	1	<1	<1	<1	<1
Ba(ppm)	872	140	236.7	244	308.2	599.7	58.8	735.9
Rb(ppm)	76	10	ypm	ypm	ypm	ypm	ypm	ypm
Sr(ppm)	180	105	347.9	302.2	95.9	395.7	9.3	120
Li(ppm)	ypm	ypm	7.8	17.1	<4	<4	<4	6.9
Nb(ppm)	-	22	3.9	5.3	6.3	<2	<2	2.7
Zr(ppm)	212	190	106.7	98.1	210.1	9.1	<2	15.6
Y(ppm)	21	15	21.2	22.7	3.7	2.8	<1	2.2
Th(ppm)	-	-	ypm	ypm	ypm	ypm	ypm	ypm
U(ppm)	-	-	ypm	ypm	ypm	ypm	ypm	ypm
Cr(ppm)	65	150	42	78.4	18.1	21.4	9.9	8.2
Cd(ppm)	ypm	ypm	<2	<2	<2	<2	<2	<2

- Aletin duyarlılık sınırlarının altında ypm : analizi yapılmayan değerler

Çizelge 6- Grafiklerde örnekleri temsil eden simgeler

		Çalışma	İtal.Proj.
Amfibollu kayaçlar	Amfibolşistler ve amfibolitler	▲	△
Şistler	Tüm şist örnekleri (amfibolşistler hariç)	◆	◊
Cevherli örnekler	Tüm cevher örnekleri	■	□
Gnays	Biyotit gnays	-	○
Damar	Kuvars damarı	-	✗
Prasinit	Meta Volkant	-	+

- Bu çalışma kapsamında rastlanılmayan litolojiler

SiO_2 içeriği ile mikaşistlere yakındır. Al_2O_3 içerikleri cevherli ve cevhre yakın kesimlerinden alınan örneklerde (ZT-1, ZT4 ve ZT-5) % 9-10 seviyelerinde iken, mikaşistlerin içerisinde (ZT-2, ZT-3 ve ZT-6) % 17'den daha fazladır. ZT-10 cevher örneği ise % 2.83 ile en düşük Al_2O_3 içeriğine sahiptir. MgO içerikleri alınan cevherli örneklerde ZT-10 örneği hariç % 1-4 aralığında iken mikaşistlerde % 1.84'den daha yüksektir. Bu da yan-kayaç ile cevherli zonlar arasında MgO içeriği için % 1-2 arasında oynamalar olduğunu göstermektedir. CaO içerikleri açısından ise yine ZT-10 örneği hariç cevherli örneklerde oranlar % 2.5-3.8 arasında iken mikaşistlerde % 1-1.6 arasındakidır. P_2O_5 içeriklerinde cevherli örneklerde artışlar görülmektedir. K_2O içeriklerinde de mikaşist örneklerinde artmalar görüülürken, cevherli örneklerde ise % 0.87'den az oranlar izlenmektedir.

MTA-İtalyan Ortak Projesi kapsamında alınan örneklerin kimyasına bakıldığından cevherli örnekler ve amfibolitlerde SiO_2 içerikleri şistlere göre beklenildiği biçimde düşüktür. TiO_2 içerikleri amfibolitlerde yüksek, toplam Fe_2O_3 içerikleri ise cevherli örneklerde, amfibolitlerde ve prasinit (metavolkant) örneklerinde yükselmektedir. MgO içerikleri ise amfibolitlerde beklenildiği gibi yüksektir. Cevherli örneklerin tüm ana element oksit içerikleri, bu çalışmada alınan cevher örnekleri ile büyük bir paralellik ve/veya uyum içe-risindedir.

Çizelge 3'te verilen ZT-1 ve ZT-6 arasında değişen örneklerden; As, Sb, Bi, Au ve Se içeriklerinin yüksek olduğu bölgeler cevherli zona işaret etmektedir. As içerikleri cevherli örneklerde yaklaşık 7000 ppm'den yüksek (ZT-1, ZT-4, ZT-5 ve ZT-10) olup mikaşistlerde ise 77-2200 ppm arasında değişmektedir. Sb, Bi ve Se elementleri de cevherli örneklerde mikaşistlere göre belirgin şekilde artmaktadır.

Zeytinlik sahasından alınan tüm örneklerin jeokimyasal sonuçları irdelediğinde Ni'in çok farklı sapmalar gösterdiği görülmektedir. 10-1463 ppm arasında değişen Ni içerikleri, bu çalışma kapsamında alınan mikaşist örneklerinde, cevherli örneklerde göre daha yüksek oranları kapsamaktadır. W içeriğinin bir tek ZT-5 örneğinde 4000 ppm gibi yüksek bir oranda olduğu görülmektedir. Ayrıca MTA-İtalyan Projesi kapsamındaki iki adet oluk şeklinde alınan cevher örneklerinde de (TR-Au-Z1 ve TR-M-9) W içerikleri artma göstermektedir. Yine bu iki cevher örneğinde As içerikleri 113000 ve 150000 ppm ile çok yüksek oranlar sunmaktadır.

Au içerikleri açısından sonuçlar değerlendirilidirde cevher örneklerindeki ortalama 3-9 ppm arasındaki veriler dikkati çekmektedir. Yalnız ZT-10 örneğinde 86,33 ppm ile Au çok yüksek bir içeriktedir. Buna bağlı olarak ZT-10 örneğinde; Ag, Sb ve Bi içerikleri de diğer örneklerde göre

daha yüksek, Zn, Rb, Cs, Ga, Zr, Y, Th, U ve Sc içerikleri ise daha düşüktür. Öte yandan; V, Co, W, Mo ve Cu içerikleri cevher örneklerinde biraz daha yüksek iken mikaşistlerle çok belirgin bir benzeşim göstermektedir. Bu belki de yankayaç-cevher arası homojenleşme ve etkileşmenin fazla olmasındanandır.

Zeytinlik sahasında değerlendirilen; amfibollü kayaçlar, şistler ve cevher örneklerinin tüm ana oksit-SiO₂ değişim diyagramlarında noktaların birbirlerinden oldukça belirgin şekilde ayrı alanlara düştüğü görülmektedir (Şekil 2).

TiO₂, Al₂O₃, MnO ve MgO'lerin SiO₂'e karşı dağılım diyagramlarında cevherli örneklerin ana oksit içeriklerinin değerlerinin şistler ve amfibollü kayaçlardan daha düşük olduğu görülmektedir. Toplam Fe₂O₃ ve P₂O₅ içerikleri amfibollü kayaçlar ve cevher örneklerinde benzer olup Na₂O ve K₂O içeriklerinde ise örnekler arası belirgin bir ayırmalama izlenmemektedir. Amfibollü kayaçlarda TiO₂, MnO ve MgO içerikleri şist ve cevherli örneklerde göre belirgin şekilde artmaktadır. Ayrıca toplam Fe₂O₃ içeriklerinin hem amfibollü kayaçlarda hem de cevher örneklerinde birbirleriyle yaklaşık aynı oranlarda yüksek içerikler kapsadığı görülmektedir (Şekil 2).

Özellikle Zeytinlik sahasından yapraklanmaya uyumlu zonlardan derlenen az sayıdaki örneklerde ait eser element jeokimyası ile elde edilen verilerin jeoistatistik yöntemlerle değerlendirilmesi sonucu (Cluster Analizleri) 3 ana birliktelik saptanmıştır. Birinci birliktelik Cr-Ni elementlerinden oluşmakta iken, ikinci birliktelik U-V-Cu-Mo-Pb-Th-Ba ve üçüncü birliktelik ise Au-Ag-Bi-Sb-Se elementlerinden oluşmaktadır (Akışka, 2003).

Kemer-Yılanlıkale Sahaları

Bu sahalardan derlenen tüm örnekler ya cevherce zengin ya da oluk cevher örneklerinden oluşmaktadır. Yapılan analizlerde SiO₂ içerikleri de bunları doğrular niteliktir. 8415 numaralı ör-

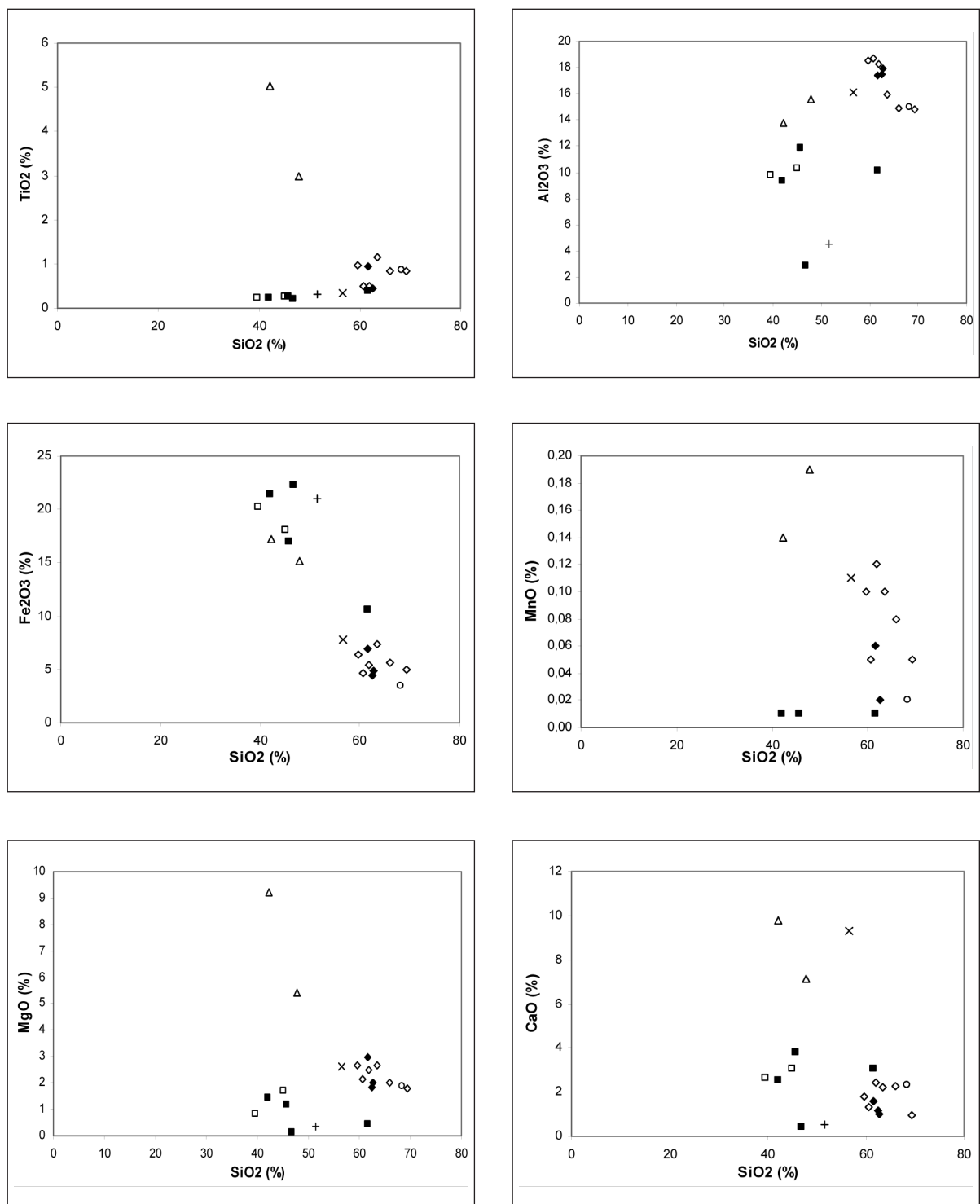
neğin % 95,16 SiO₂ içermesi, arsenopiritli kuvars damarına işaret etmektedir. 8414 ve YK-2 numaralı örnekler ise % 2-4 arası oranlarda SiO₂ içerir. Bunların arsenopirit minerallerini fazla içermeleri nedeniyle SiO₂ içerikleri daha düşüktür. Fe₂O₃ içeriğinin yüksek olması (8415 numaralı kuvars damar örneğinin göz önünde bulundurulmadığı koşullarda) bunu doğrular niteliktir. KM-1 numaralı örnekte SiO₂, Al₂O₃ ve CaO oranlarının diğerlerine göre artması bu örneğin olasılıkla cevherle birlikte alınan yankayaç örneği olmasından kaynaklanmaktadır. K₂O oranı ise bu örnekte düşüktür. Bu arada KM-1 örneğinin CaO içeriğinin % 21 civarındaki oranı ile kendine özgü bir litoloji olduğu düşünülmektedir. Zira yapılan petrografik incelemelerde, örnekte Ca'ca zengin mineraller olan çok bol granat ve epidot saptanmıştır.

Örnekler kendi aralarında karşılaştırıldığında özellikle KM-1 örneğinin diğer örneklerle göre farklı içerikler sergilediği görülmektedir. Bu örnekte; V, Ni, Cu, Nb, Y, (olasılıkla Th ve U) içeriklerinde yüksek; W, Sb, Bi ve Hg içeriklerinde düşük oranlar saptanmıştır. 8381 numaralı örneğin W içeriğinin 454 ppm olarak belirlenmesi olasılıkla şelitin varlığını göstermektedir.

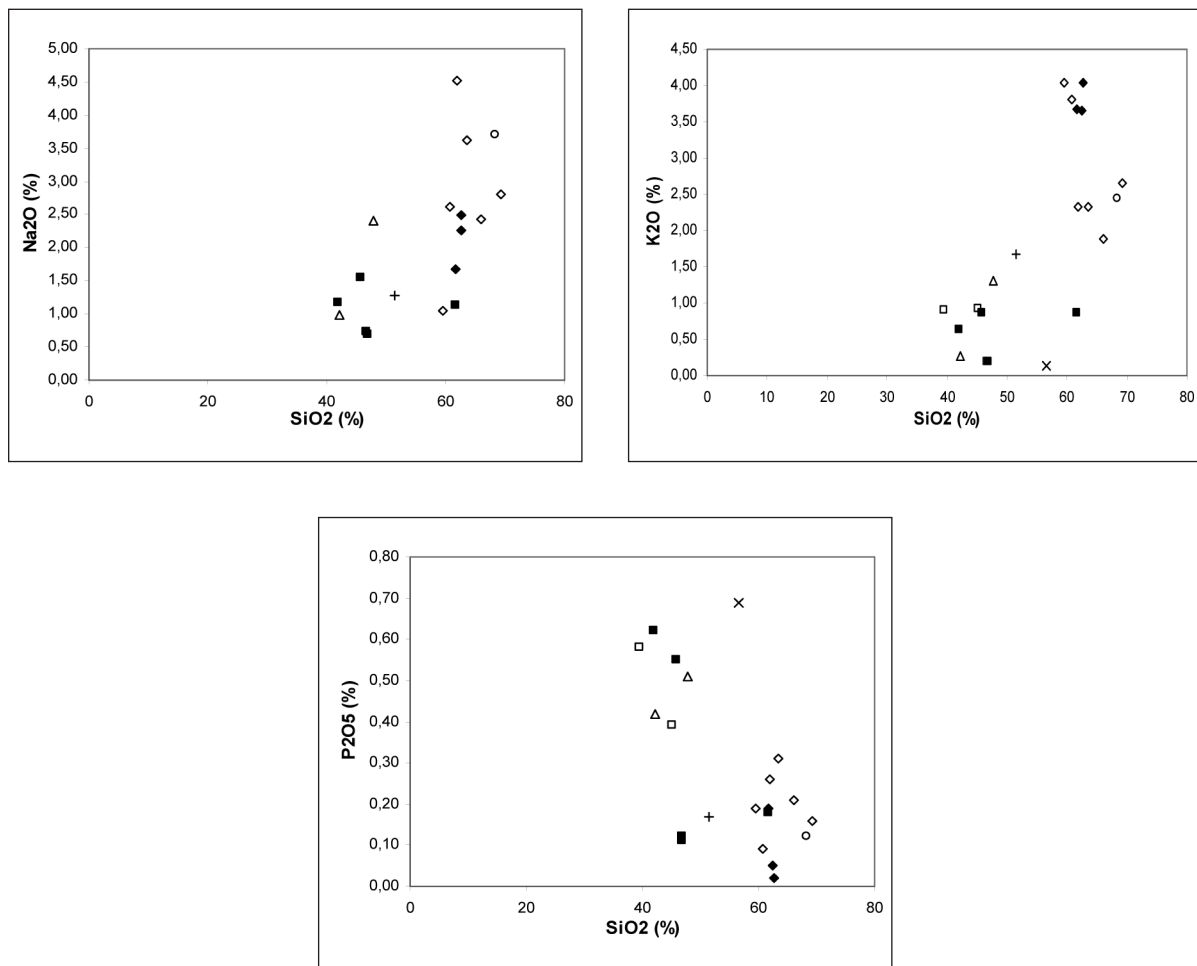
Arsenopirit cevher konsantreleri birbirleriyle karşılaştırıldığında (TR-M-10 ve YK-2) örneklerin Ba ve Sr içerikleri hariç genellikle uyum içinde oldukları görülmektedir. Özellikle As içerikleri TR-M-10 örneğinde 287000 ppm iken, YK-2 örneğinde de As içeriği çok yüksektir.

Tüm örneklerde Au içeriğine bakıldığından, Au'nın 0,3-6,7 ppm arasında değiştiği görülmektedir.

Bu yöreye özgü bir diğer dikkati çeken özellik ise, Sn içeriklerinin YK-2 örneği dışında genellikle 16 ppm'den yüksek olmasıdır. Sb içerikleri ise KM-1 örneği dışında 32.1 ppm'den daha büyük, hatta 137 ppm'lere kadar çıkan oranları sergilemektedir.



Şekil 2- Ana oksitlerin SiO_2 'e karşı dağılım diyagramları



Şekil 2- Devam

Nadir Toprak Element Analizleri

Elmacıgediği, Zeytinlik ve Kemer ile Yılanlıkale örneklerine özgü jeokimyasal analizlerle saptanmış bulunan Nadir Toprak Elementleri (REE) içerikleri çizelge 7'de toplu bir biçimde sunulmuştur. Ayrıca yerkabuğu, bazalt ve şeyllere özgü ortalama değerler de çizelgenin sonuna eklenmiştir. Bu verilerin Sun ve McDonough (1989)'a ait kondrit değerleri ile normalize edilmiş sonuçlarından faydalananarak çizilen diyagram şekil 3'te verilmiştir.

Burada tüm örneklerin yerkabuğu ve şeyl örnek değerleri ile yakın, bazalt örnek değerleri ile ise hemen hemen yakın gidişler sergiledikleri gözlenmektedir. Ancak YK-2 örneğinin cevher konsantresinden oluşması nedeni ile silikat bileşenlerinden yoksunluğu bu örneğin ayrı bir gidiş içerisinde konumlandığını göstermektedir. Aynı zamanda silikatça fakir, demir oranınca yüksek, olduğunda fazla hidrotermal etkilerle işlenmiş altınca zengin (86 ppm Au) ZT-10 örneği de diğer örneklerle göre ayrı bir gidiş sergilemektedir.

Çizelge 7- Elmacıgediği, Zeytinlik, Kemer ve Yılanlıkale bölgeleri nadir toprak element analiz sonuçları ile yer kabuğu, bazalt ve şeyl örneklerinin ortalama nadir toprak element değerleri

Örnek No	EG-2a	EG-6	KM-1	YK-2	ZT-1	ZT-2	ZT-3	ZT-4	ZT-5	ZT-6	ZT-10
La	46.9	33.1	8	1.8	48.1	39.7	29.1	36.2	46.1	32.2	6.3
Ce	91.6	62.9	27.4	3.2	85.6	75.9	52.1	59.8	75	57.3	10.3
Pr	10.78	7.87	5.22	0.39	10.76	9.12	6.75	7.4	8.98	7.64	1.13
Nd	54.2	37	35.4	2	46.9	39	28	34.1	38.8	35.1	4.7
Sm	10	6.6	8.1	0.3	8.6	8.1	5.7	6.5	6.6	6.8	0.6
Eu	2.53	1.65	2.65	0.08	2.75	1.44	0.99	2.12	2.93	1.31	0.16
Gd	9.17	5.85	7.73	0.39	7.97	6.3	4.06	5.61	5.42	5.4	0.45
Tb	1.45	1.03	1.5	0.05	1.29	1.11	0.75	0.82	0.99	1.03	0.15
Dy	6.36	5.24	8.35	0.2	6.45	5.82	3.63	3.87	4.24	5.27	0.95
Ho	1.32	1.09	1.67	0.07	1.26	1.09	0.79	0.74	0.97	0.98	0.25
Er	3.53	3.38	4.8	0.13	3.65	3.39	2.4	1.93	2.77	2.77	0.71
Tm	0.54	0.5	0.71	<0.05*	0.5	0.54	0.39	0.32	0.41	0.44	0.13
Yb	3.99	3.27	4.93	0.15	3.56	3.4	2.57	2.3	2.94	3.05	0.8
Lu	0.52	0.47	0.62	0.03	0.56	0.56	0.41	0.4	0.47	0.4	0.12

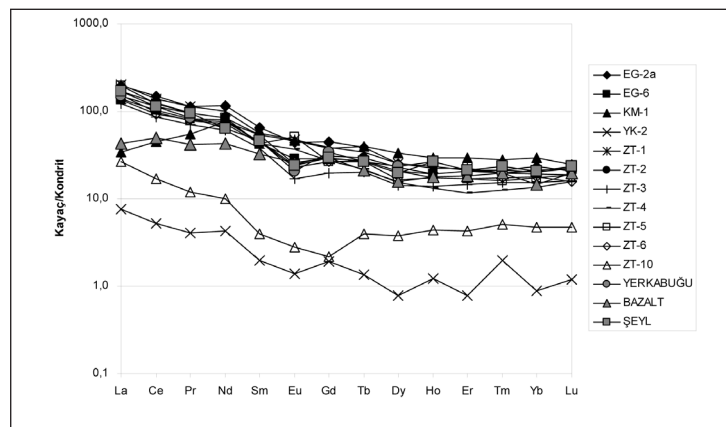
	YERKABUĞU**	BAZALT**	ŞEYL**
La	35	10	40
Ce	70	30	70
Pr	8	4	9
Nd	30	20	30
Sm	7	5	7
Eu	1,2	1,5	1,4
Gd	7	6	6
Tb	1	0,8	1
Dy	6	4	5
Ho	1,5	1	1,5
Er	3,5	3	3,5
Tm	0,5	0,5	0,6
Yb	3,5	2,5	3,5
Lu	0,6	0,5	0,6

* Nadir Toprak Element değerlerinde aletin duyarlılık sınırı altındaki değerler birlikte sağlanması açısından grafiklerde aynen kullanılmıştır

** Krauskopf 1989, s.545 (Bu kaynakta bazalt adı ile verilen değerler bazalt, diyabaz ve gabroları kapsamaktadır)

Çizelge 8- Çizelge 7'deki örneklerin kayaç adlamaları

Örnek No	Lokasyon	Kayaç adı
EG-2a	Elmacıgediği	Granat amfibol şist-amfibolit dokanağı
EG-6	Elmacıgediği	Amfibol şist
KM-1	Kemer	Cevher (asp)
YK-2	Yılanlıkale	Asp cevheri (konsantre)
ZT-1	Zeytinlik	Cevher (asp)
ZT-2	Zeytinlik	Biyotit-muskovit-granat-stavrolit şist
ZT-3	Zeytinlik	Biyotit-muskovit şist
ZT-4	Zeytinlik	Cevher (asp)
ZT-5	Zeytinlik	Cevher (asp)
ZT-6	Zeytinlik	Muskovit-biyotit şist
ZT-10	Zeytinlik	Cevher (asp)



Şekil 3- Çizelge 7'de verilen değerlerin kondrit değerlerine göre normalize edilmiş spider diyagramı (Sun ve McDonough, 1989 kondrit değerleri kullanılmıştır)

TARTIŞMA VE SONUÇLAR

Zeytinlik, Elmacıgediği, Yılanlıkale ve Kemer sahalarında yapılan incelemelerden elde edilen bulgular ve sonuçlar aşağıda sunulmaktadır :

Yapılan saha ve laboratuvar çalışmalarında araştırma yapılan sahaların amfibolit ve/veya amfibolistler bu kayaçlar içinde veya yakınında yer aldığı belirlenmiştir. Arsenopirit kristallerinin genellikle iri ve yapraklanması paralel dizildikleri ve az çok şelit içerdikleri görülmektedir. Cevherli zonlarda ayrıca az ya da çok oranlıda Sb, Bi ve Ag elementlerinin zenginleştiği görülmektedir. MTA-İtalyan Projesi raporunda amfibolitlerin ortoamfibolit olduğu, yani magmatik kökenli olduğu belirtilmektedir. Bu veri, aldığımız örneklerdeki yaptığımız jeokimyasal çalışmalarla; Ti, Cr ve Ni içeriklerinin yüksek olmasıyla da doğrulanmaktadır. Tüm sahalarda sadece yapraklanması uyumlu arsenopirit cevherlerinin yanı sıra yapraklanması kesen kırık ve çatlaklılardaki arsenopirit cevherleşmeleri de gözlenmiştir. Bütün bu veriler ışığında cevherleşmenin yapraklanması ile olan uyumluluklarına bakılarak; cevherleşmelerin önce çökelme sırasında havzaya olasılıkla bazik magmatik kayaçlara bağlı çeşitli element gelişleri biçiminde olduğu, bu çözeltilerin daha sonra giderek daha asidik evrede

gelen çözeltilere geçtiği ve bunların sinsedimanter olarak çökeldikten sonra da metamorfizma geçirdiği söylenebilir. Ancak daha sonraki etkileşimler ile bu cevherler mobilize olmuşlardır. Bu etkileşimler daha sonraki metamorfik evreler ve/veya granit sokulları ile oluşan hareketlenmeler olabilir. Bazik magmatik kayaçlara işaret eden veriler için Zeytinlik sahası eser element jeokimyasında elde edilen element beraberlikleri gösterilebilir. Çünkü bu sahadan alınan örnekler yapraklanması uyumlu zonlardan derlenmiştir. Cr-Ni birlikteliği ilksel bazik magmatik kayaçlara, sonraki U-V-Cu-Mo-Pb-Th-Ba birlikteliği ise ortama giderek daha asidik çözeltilerin gelmesine bağlanabilir. En son Au-Ag-Bi-Sb-Se birlikteliği ise cevherleşmeye işaret etmektedir.

KATKI BELİRTME

Bu çalışma, 1. yazarın Ankara Üniversitesi Jeoloji Mühendisliği Bölümü'nde 2. ve 3. yazarların denetiminde yapmış olduğu yüksek lisans çalışmasının bir özeti耳dir. Ayrıca çalışmanın çeşitli aşamalarındaki katkılarından dolayı yazarlar; Jeoloji Yüksek Mühendisi Fahrettin Kayhan, Jeoloji Yüksek Mühendisi Nevzat Karabalık ve Dr. Ahmet Çağatay'a teşekkür ederler.

DEĞİNİLEN BELGELER

- Akışka, S. 2003. İzmir-Ödemiş yöresindeki metamorfik kayaçlar içerisinde bulunan altınlu arsenopirit damarlarının jeolojisi, jeokimyası ve kökeni. Yüksek lisans tezi, Ankara Üniversitesi Fen Bilimleri Enstitüsü, 101 s. (yayınlanmamış).
- Andiç, T. 1992. Aydın-Denizli yoresi altın aramaları raporu. MTA Rapor No:9521. Ankara (yayınlanmamış).
- Aydal, D. 2000. Altın ve jeolojisi, 82 s., Ankara.
- Çağatay, A. ve Eyüpoglu, T. 1979. Batı Anadolu'daki antimonit-arsenopirit, zinober şeelite yatakları ve zuhurlarının mineralojisi, kısa jeoloji incelemleri ve elde edilen jenetik bulgular. JMO Dergisi Sayı:9 s. 51-62.
- Dilek, S. ve Kayhan, F. 1987. Menderes Masifi Ödemiş ve Çine asmasifleri arsenopirit mineralizasyonları raporu. MTA Rapor No:8261. Ankara (yayınlanmamış).
- Gonca, Ş. 1992. Uşak-Eşme, Manisa-Kula, Manisa ve Uşak yöresinde altın aramaları maden jeolojisi raporu. MTA Rapor No:9520, Ankara (yayınlanmamış).
- Kayhan, F. 1991. Ödemiş Asmasifinde (Menderes Masifi) ve yöresindeki altın mineralizasyonu raporu. MTA Rapor No:9350. Ankara (yayınlanmamış).

- Krauskopf, K., B., 1989, Inroduction to Geochemistry, McGraw-Hill International Editions, Earth and Planetary Sciences Series, p.617.
- Kuhns, R. J. 1988. The Golden Giant deposit, Hemlo, Ontario: geologic, and geochemical relations between mineralization, alteration, metamorphism, magmatism and tectonism. PhD Thessis, Univ Minnesota 381 pp.
- Önal, G., Yüce, A.E. ve Karahan, S. 1986. Türkiye'de altın madenciliği, Yurt Madenciliğini Geliştirme Vakfı yayını, 173 s.
- Sawkins, F. J. 1990. Metal deposits in relation to plate tectonics (Second Edition); (çeviri : Ünlü, T. ve Sayılı, I.S., 366 s., 1999, Ankara).
- Strachan, D. M. ve Moffett, R. 1985. Geology of the Lupin gold deposit, N.W.T. Preprint 11 NW Min Assoc 91st Annu Conv, Spokane.
- Sun, S.S. ve McDonough, W.F., 1989. Chemical and isotopic systematics of oceanic basalts: implications for mantle composition and processes. In: Saunders A.D. and Norry M.J. (eds.), Magmatism in ocean basins. Geol. Soc. London. Spec. Pub. 42, pp.313-345.
- Uzkut, İ. 1977. Büyük Menderes-Gediz arasındaki arsenopirit yataklarının oluşumu ve altın-kobalt açısından önemi. Doçentlik Tezi, E.Ü.M.B.F., 92 s (yayınlanmamış).

LEVHALAR

LEVHA I

Şekil 1 - Biyotit-granatşistlerde gözlenen biyotitler içindeki zirkon kapanımları (Bi: Biyotit, Gr: Granat, Zr: Zirkon). Tek nikol.

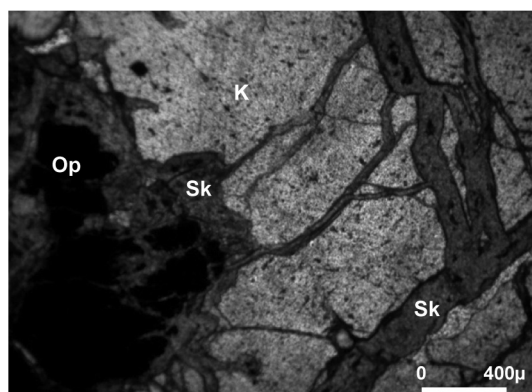
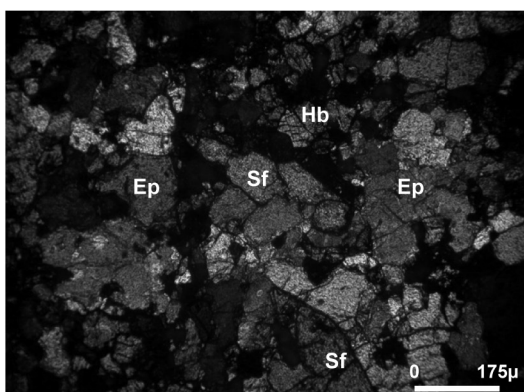
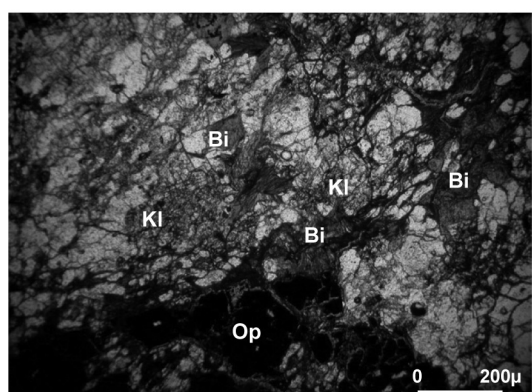
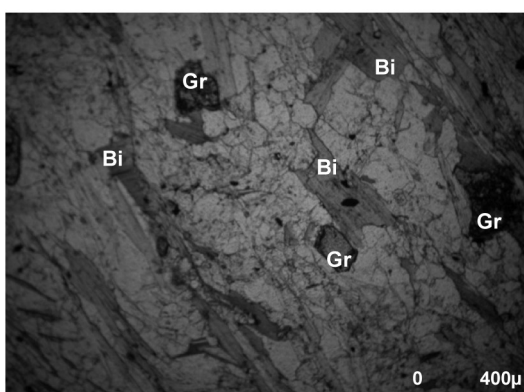
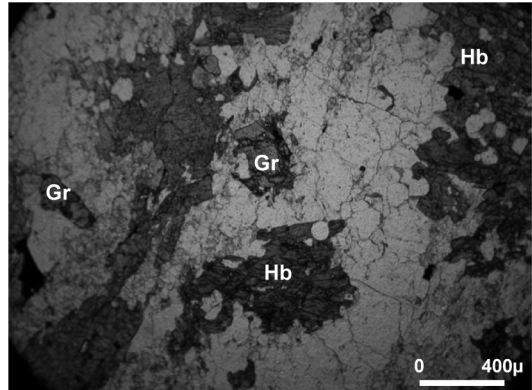
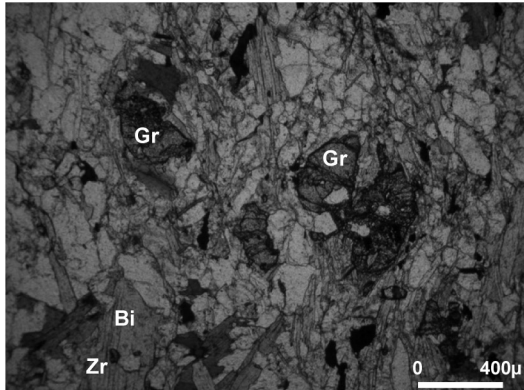
Şekil 2 - Amfibolit içinde gözlenen yeşil renkli, kuvvetli pleokroyizma gösteren hornblendler (Hb: Hornblend, Gr: Granat). Tek nikol.

Şekil 3 - Mikaşistler içerisinde izlenen biyotit pulcukları ve granat taneleri (Bi: Biyotit, Gr: Granat). Tek nikol.

Şekil 4 - Mikaşistlerdeki biyotitlerde saptanan kloritleşmeler (Bi: Biyotit, Op: Cevher mineralleri, Kl: Klorit). Tek nikol.

Şekil 5 - Amfibolitlerde, etrafında hornblend ve epidotun yer aldığı sfen taneleri (Hb: Hornblend, Ep: Epidot, Sf: Sfen). Çift nikol.

Şekil 6 - Mikaşistler içinde yer alan iri kuvars taneleri (K: Kuvars, Op: Cevher mineralleri, Sk: Skorodit). Çift nikol.



LEVHA II

Şekil 1 - Arsenopiritin dilinimleri ve çatlakları boyunca izlenen skoroditleşmeler. Tek nikol.

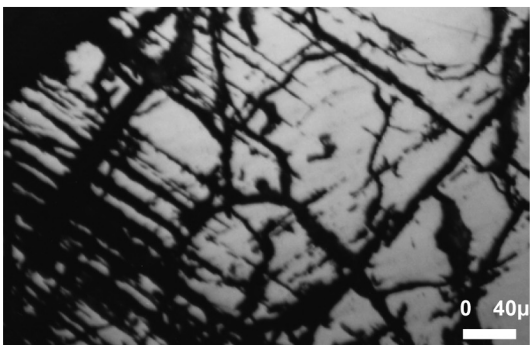
Şekil 2 - Skoroditler içerisinde yer alan iri taneli nabit altınlarının görünüşü (Sk: Skorodit, Au: Altın).
Tek nikol.

Şekil 3 - Pirit, kalkopirit ve arsenopirit birlikteliği (Py: Pirit, Kpy: Kalkopirit, Asp: Arsenopirit). Tek nikol.

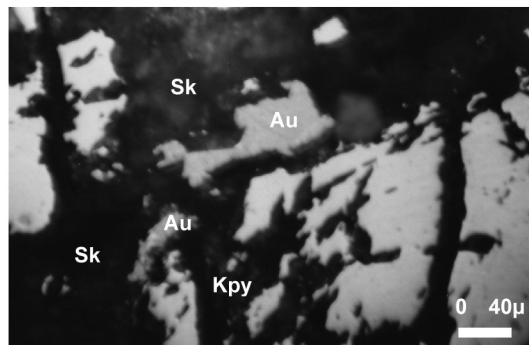
Şekil 4 - Heksagonal pirotinden dönüşmüş pirit ve markazit oluşumları (Py: Pirit, Ma: Markazit).
Tek nikol.

Şekil 5 - Etrafını kalkopirit sarmış pirit tanesi ve kalıntı arsenopiritler (Kpy: Kalkopirit, Py: Pirit,
Asp: Arsenopirit). Tek nikol.

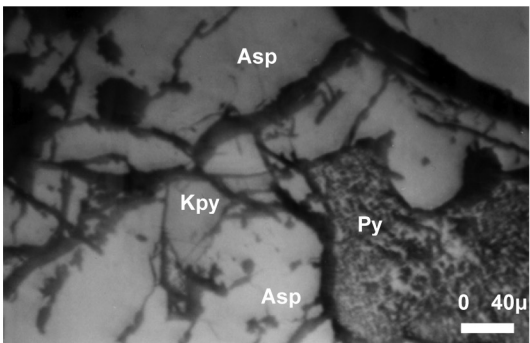
Şekil 6 - Arsenopirit ile kenetlenmiş ve çatlağı boyunca kovellin ve limonite dönüşmüş kalkopiritler
(Asp: Arsenopirit, Ko: Kovellin, Li: Limonit, Kpy: Kalkopirit). Tek nikol.



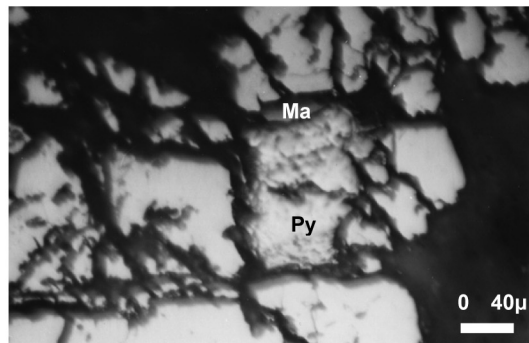
1



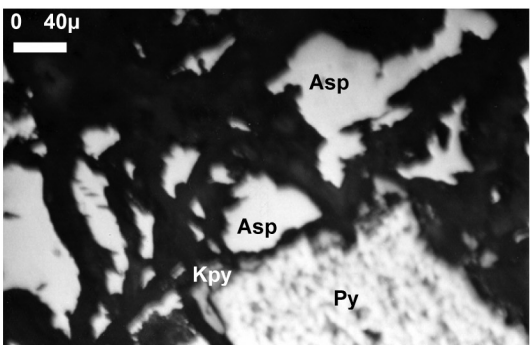
2



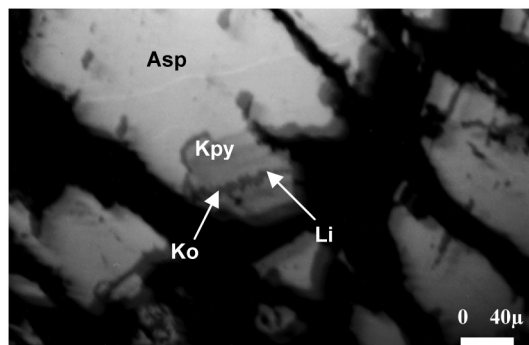
3



4



5



6

bos sayfa